

تولید و بررسی ریخت‌شناسی نانوذرات تنگستات کادمیم در روش‌های سل-ژل و همرسوبی

نوشین حیدریان دهکردی^{۱*}، مرتضی رئیسی^۲ و سانا ز علمداری^۳

^۱-دانشکده نانو، پردیس علوم و فناوری‌های نوین، دانشگاه سمنان، سمنان، ایران.

^۲-دانشکده فیزیک، دانشکده علوم، دانشگاه شهرکرد، شهرکرد، ایران.

^۳-پژوهشکده نانو، دانشگاه شهرکرد، شهرکرد، ایران.

^۴-دانشکده فیزیک، پردیس علوم، دانشگاه سمنان، سمنان، ایران.

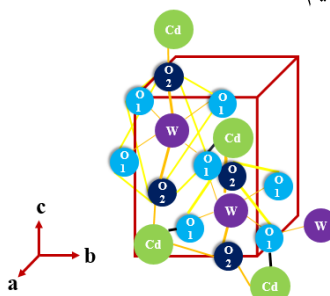
چکیده

در این پژوهش، نانوذرات تنگستات کادمیم (CWO) به دو روش ساده و کم هزینه سل-ژل و همرسوبی تولید شدند. بررسی‌های ریخت‌شناسی و شناسایی با XRD و SEM نشان دادند که اندازه بلورک‌ها در روش سل-ژل و همرسوبی تقریباً "برابر (۳۰ nm و ۳۲ nm)" هستند؛ روش سل-ژل نانوذرات درشت‌تر (۱۰۰ nm) با توزیع یکنواخت‌تری تولید می‌کند؛ روش همرسوبی نانوذرات کوچکتر (۶۲ nm) با توزیع گسترده‌تر تولید می‌کند؛ میزان توده‌شدگی و تجمع در روش همرسوبی بیشتر از روش سل-ژل بود. قله مشخصه $\text{Na}1\text{s}$ در نتایج XPS نانوذرات تولید شده به 10.70 eV در کنار قله‌های عناصر اصلی تنگستات کادمیم مانند $\text{O}1\text{s}$ در 4.15 eV ، 4.0 eV و $W4\text{f}$ در 5.37 eV بیانگر خلوص بیشترذرات در روش همرسوبی هستند. نتایج EDXS-map حضور و توزیع یکنواخت اتمها را در نانوذرات نشان می‌دهد. بنابراین، هر دو روش می‌توانند روش‌های خوبی برای تولید نانوذرات CWO با ویژگی‌های ساختاری مناسب برای کاربرد در زمینه‌های گوناگون از جمله ساخت قطعات فتوولتائیک و سوسوزن باشند.

واژه‌های کلیدی: تنگستات کادمیم، ریخت‌شناسی، سل-ژل، همرسوبی

*h_nooshin@yahoo.com

منوکلینیک (ولفرامیت^۳) از گروه فضایی (P2/c) (در شعاع‌های کاتیونی کوچکتر) قرار دارند [۳]. تنگستات کادمیم در شرایط محیطی دارای ساختار بلوری پایدار منوکلینیک و در فشار بالای ۲۰ GPa ۲۰ دارای ساختار بلوری چهارگونال است. ثوابت شبکه فاز ولفرامیت تنگستات کادمیم عبارتند از: $a=5.029 \text{ \AA}$ ، $b=5.074 \text{ \AA}$ ، $c=5.059 \text{ \AA}$ و $\beta = 91.47^\circ$ [۴]. ساختار شبکه بلوری تنگستات کادمیم در شکل ۱ ارائه شده است.



شکل ۱-ساختار بلوری منوکلینیک ولفرامیت تنگستات کادمیم.

۱-مقدمه

تنگستات‌ها ترکیباتی حاوی اکسی آئیون تنگستن و جزو ساده ترین یون تنگستات^۴ WO_4^{2-} می‌باشند که به حالت متغیر می‌باشد اورتوگونال Orthogonal^۵ معروف هستند [۱]. تنگستات‌های استرانسیم، منیزیم، کلسیم و روی دارای ویژگی نورتابی هستند و تحت تابش پرتو فرابنفش (موج کوتاه) یا پرتوهای کاتدی شروع به درخشش ویژه می‌کنند [۲]. ترکیبات تنگستات به طور گسترده در نورتابهای حالت جامد و دیودهای گسیلنده نوری استفاده می‌شوند. برخی از فسفرهای تنگستاتی معروف و پرکاربرد با بهره کوانتمی بالا عبارتند از: تنگستات کادمیم، تنگستات کلسیم و تنگستات سرب. تنگستات‌های با فرمول شیمیایی AWO_4 بسته به شعاع کاتیون با طرفیت ۲ به صورت چهار وجهی (شیلیت^۶) از گروه فضایی (I4₁/a) (در شعاع‌های کاتیونی بزرگتر) و

³ Wolframite

¹ Ortitung state

² Scheelite

حالی که این امر معمولاً در رشد تک بلور امکان‌پذیر نیست. روش همروسوبی روش ساده، پرکاربرد و مقرون به صرفه برای ساخت نانوذرات در فاز محلول است و امکان تولید نانوذرات تنگستات کادمیم هم بر پایه استات و هم بر پایه نیترات را فراهم کرده است. از طرف دیگر، روش همروسوبی مشکلات روش سل-ژل مانند کنترل دشوار واکنش‌های آبکافت و تراکم و پایدارسازی دشوار پیش‌سازه‌های تنگستن برای سل‌های تنگستات کادمیم به دلیل وابستگی شدید به رطوبت را ندارد. همچنین امکان تولید فراوردهات در دمای محیط را فراهم می‌کند. مرحله نخست، از فرایند سل-ژل شامل تولید سل کلئیدی کاملاً یکنواخت، با ترکیب شیمیایی مشخص است. افزایش غلظت فاز پراکنده یا فرایندهای آبکافت تولید ساختار ژل نرم^{۱۰} می‌کنند و تجمع با تبدیل سل به ژل اتفاق می‌افتد. توده‌ها با پرکاربرد مانند پرتو α و نوترون‌ها را جذب کرده و آنرا در زمانی کوتاه به نور مرئی یا نزدیک به مرئی تبدیل می‌کند^[۵]. همچنین، به دلیل بهره نشر و پایداری تابش بالا، پس تاب^۲ کم به عنوان ماده سوسوزن ارزشمند در اشکال متفاوت مانند تک بلور، نانوپودر (نانومیله، نانوذرات کروی و نانوذرات بی‌شکل) و لایه نازک به طور پیوسته در برش نگاری پرتو ایکس، دزیمتري، تصویربرداری پرتو پر انرژي و تشخیص و ساخت آشکارسازها کاربرد دارد. در زمینه رشد تک بلور تنگستات کادمیم، به روش‌های چکرالسکی و بریجمن به شکل‌های گستردۀ مورد مطالعه قرار گرفته‌اند^[۶]. در طول فرایند رشد تک بلور که به کمک تجهیزات گران قیمت و پیشرفته، در شرایط دشوار (دما و فشار بالا) انجام می‌شود حفظ تناسب عنصری دشوار است. در ابعاد نانومتری در مقایسه با ابعاد حجیم، میزان عیوب کاهش یافته، نسبت سطح به حجم افزایش، چگالی و حرکت حامل‌ها بیشتر شده و به دنبال آن هدایت الکتریکی افزایش می‌یابد. پیشرفت‌های اخیر در مهندسی لایه نازک امکان تولید نانوذرات تنگستات کادمیم به کمک روش‌های سل-ژل^[۷]، همروسوبی^[۸]، رسوب لیزرپالسی^[۹]، سولوترمال^[۱۰]، گرمابی^[۱۱] [۱۲] و اسپری پایرولیزیز^[۱۳] را داده است.

فرایند سل-ژل شگردی برای تولید مواد (مواد مرکب)^[۳] با ویژگی‌های خاص فیزیکی و شیمیایی است^[۷]. پیش ماده‌های مولکولی در تولید به روش سل-ژل یکنواختی و همگنی شیمیایی مناسب در فراوردهات را معمولاً تضمین می‌کنند^[۷]. بعلاوه فرایند سل-ژل امکان تولید ترکیبات متفاوت و تغییر طبیعت و غلظت یون‌های آلاینده را به راحتی فراهم می‌کند در

همانگونه که در شکل ۱ مشاهده می‌شود ساختار بلوری ولفرامیت شامل زنجیره‌های از هشت‌وجهی‌های تغییر فرم یافته WO_6 است که با به اشتراک گذاشتن لبه‌هایشان زنجیره‌های زیگزاگی متناوب را ایجاد می‌کنند. چهار یون اکسیژن در هشت وجهی WO_6 در موقعیت‌های O_1 و دو یون دیگر در موقعیت O_2 قرار دارند. یون‌های O_1 با یک یون Cd^{+2} و دو یون W^{+6} پیوند دارند ولی یون‌های O_2 با یک یون W^{+6} و دو یون Cd^{+2} در رابطه هستند.

بلور تنگستات کادمیم یک جامد یونی شفاف و بی‌رنگ مایل به زرد است، ماده‌ای نورتاب^[۱] با عدد اتمی مؤثر نسبتاً بالا (۶۴)، چگالی مناسب (7.9 g/cm^3)، ضریب شکست بالا ($2/3$)، قدرت توقف کنندگی^[۲] بالا، قدرت جذب بالای پرتوهای پر انرژی و به دنبال آن بهره سوسوزنی قوی است. در واقع انرژی پرتوهای پر انرژی مانند پرتو α و نوترون‌ها را جذب کرده و آنرا در زمانی کوتاه به نور مرئی یا نزدیک به مرئی تبدیل می‌کند^[۵]. همچنین، به دلیل بهره نشر و پایداری تابش بالا، پس تاب^۲ کم به عنوان ماده سوسوزن ارزشمند در اشکال متفاوت مانند تک بلور، نانوپودر (نانومیله، نانوذرات کروی و نانوذرات بی‌شکل) و لایه نازک به طور پیوسته در برش نگاری پرتو ایکس، دزیمتري، تصویربرداری پرتو پر انرژي و تشخیص و ساخت آشکارسازها کاربرد دارد. در زمینه رشد تک بلور تنگستات کادمیم، به روش‌های چکرالسکی و بریجمن به شکل‌های گستردۀ مورد مطالعه قرار گرفته‌اند^[۶]. در طول فرایند رشد تک بلور که به کمک تجهیزات گران قیمت و پیشرفته، در شرایط دشوار (دما و فشار بالا) انجام می‌شود حفظ تناسب عنصری دشوار است. در ابعاد نانومتری در مقایسه با ابعاد حجیم، میزان عیوب کاهش یافته، نسبت سطح به حجم افزایش، چگالی و حرکت حامل‌ها بیشتر شده و به دنبال آن هدایت الکتریکی افزایش می‌یابد. پیشرفت‌های اخیر در مهندسی لایه نازک امکان تولید نانوذرات تنگستات کادمیم به کمک روش‌های سل-ژل^[۷]، همروسوبی^[۸]، رسوب لیزرپالسی^[۹]، سولوترمال^[۱۰]، گرمابی^[۱۱] [۱۲] و اسپری پایرولیزیز^[۱۳] را داده است.

فرایند سل-ژل شگردی برای تولید مواد (مواد مرکب)^[۳] با ویژگی‌های خاص فیزیکی و شیمیایی است^[۷]. پیش ماده‌های مولکولی در تولید به روش سل-ژل یکنواختی و همگنی شیمیایی مناسب در فراوردهات را معمولاً تضمین می‌کنند^[۷]. بعلاوه فرایند سل-ژل امکان تولید ترکیبات متفاوت و تغییر طبیعت و غلظت یون‌های آلاینده را به راحتی فراهم می‌کند در

^۱ Luminescent

^۲ Stopping power

^۳ Afterglow

^۴ Pulsed laser deposition

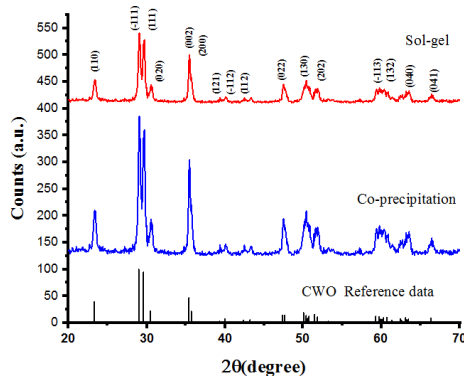
^۵ Sonochemical synthesis

^۶ Solvothermal

^۷ Hydrothermal

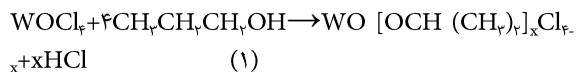
^۸ Pyrolysis

^۹ Composites



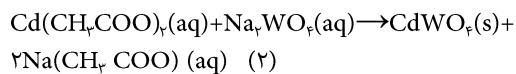
شکل ۲- الگو XRD پودر تنگستات کادمیم تولید شده به روش سل-ژل و همرسوبی به همراه الگو داده مرجع مربوط به تنگستات کادمیم. قله‌های مشاهده شده در شکل ۲ با الگو پراش استاندارد تنگستات کادمیم (JCPDS: ۰۱-۰۸۷-۱۱۱۴) با ساختار منوکلینیک ولفرامیت و گروه فضایی $P\bar{2}/c$ مطابقت دارند [۴]. هیچ‌گونه قلهٔ اضافی مربوط به فازهای اکسیدی (WO_3) یا فازهای ناخالصی در الگوها مشاهده نشد که این امر ناشی از خلوص فراوردهات است. در ساختار ولفرامیت هر یون تنگستن توسط دو نوع یون اکسیژن احاطه می‌شود. ۴ یون اکسیژن که نزدیکترین اتمهای اکسیژن و همسایه‌های درجه اول هستند (نوع اول) و ۲ یون اکسیژن که همسایه‌های دورتر یا درجه دوم هستند (نوع دوم) و در موقعیت هشت وجهی (عدد همسایگی ۶) قرار دارند. مجموعه اتمهای اکسیژن و تنگستن تشکیل

کمپلکس مولکولی $W^{6+}O^{2-}$ را می‌دهند. قله‌های مربوط به نمونه حاصل از روش همرسوبی دارای شدت بیشتر و باریکتری نسبت به نمونه حاصل از روش سل-ژل بودند که نشان‌دهنده بلورینگی بیشتر نمونه‌های همرسوبی نسبت به سل-ژل است. با استفاده از فرمول شر و داده‌های FWHM^۱ متوسط اندازه بلورکها برای همرسوبی nm ۳۲ و سل-ژل nm ۳۰ تخمین زده شد. سایر پارامترهای ساختاری نمونه در هر دو روش تولید محاسبه و در جدول ۱ ارائه شده‌اند.



کلرید هیدروژن (فراورده جانبی واکنش) سبب کاهش pH سل، طولانی شدن زمان تولید ژل و نیز تولید کلرید بعنوان ناخالصی در نمونه CWO پس از فرایند کاسیناتیون می‌شود. کلرید هیدروژن در سل سبب تشکیل کلرید کادمیم بلوری به محض افودن نیترات کادمیم در حین آماده‌سازی سل و در نتیجه تولید سل شیری رنگ ناپایدار می‌شود [۱۶].

۵ mol N نیترات کادمیم $Cd(NO_3)_2$ به عنوان پیش‌ماده دوم به فراورده بالا افوده شد. در نهایت به منظور جلوگیری از ایجاد رسوب و افزایش پایداری سل حدود ۰/۵ml پایدارکننده ۲ پنتان دیون به نمونه افزوده شد. پس از ۲۰min در دمای ۶۰°C خشک شد. سپس، به مدت ۴h با نرخ ۳°C/min در دمای ۶۰۰°C در کوره الکتریکی کلسینه و در هاون ساییده و خرد شدند. تولید پودر تنگستات کادمیم به روش همرسوبی با استفاده از پیش‌ماده کادمیم استات دی‌هیدرات ($Cd(CH_3COO)_2 \cdot 2H_2O$) انجام شد. برای این منظور ۱mol استات سدیم (Na_2WO_4) و ۱mol کادمیم استات دی‌هیدرات (خلوص ۹۹/۹۹%) به صورت جداگانه، در دمای اتاق، در ۵۰ml آب دوبار تقطیر بر همزن حل شدند. محلول تنگستن به آرامی به محلول کادمیم که با یک همزن مغناطیسی در حال مخلوط شدن است در دمای اتاق افزوده شد. واکنش میان استات کادمیم و تنگستات سدیم در معادله ۲ ارائه شده است.



رسوب سفید رنگ با سانتریفیوژ با آب دوبار تقطیر و اتانول (C_2H_5OH) شسته شد؛ به مدت ۲۴ ساعت در ۸۰°C خشک و به مدت ۳ ساعت درون کوره الکتریکی در ۶۰۰°C نگهداری شد.

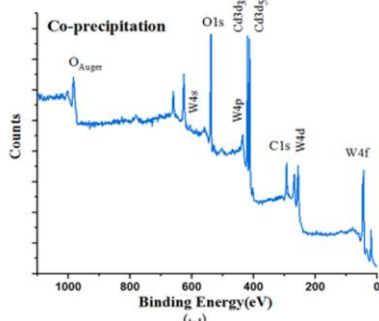
۲-۲-شناسایی نمونه‌ها

در کار حاضر دستگاه XRD مدل Bruker D8 diffractometer با استفاده از تابش $K\alpha$ Cu ($\lambda = ۰/۱۵۴ \text{\AA}$) به منظور مشخصه-یابی، بررسی خلوص پودرها و اندازه بلورکها با استفاده از روش ریتولد و فرمول شر مورد استفاده قرار گرفت. به منظور اطمینان از حضور عناصر اصلی، تشکیل فراوردهات و خلوص آن‌ها از دستگاه XPS مدل Thermo Scientific K-Alpha استفاده شد. اندازه و توزیع اندازه ذرات با بررسی تصاویر SEM Philips MIRA3TESCAN و TEM Philips CM120 حاصل از دستگاه‌های قرار گرفتند.

۳-تجزیه و تحلیل نتایج

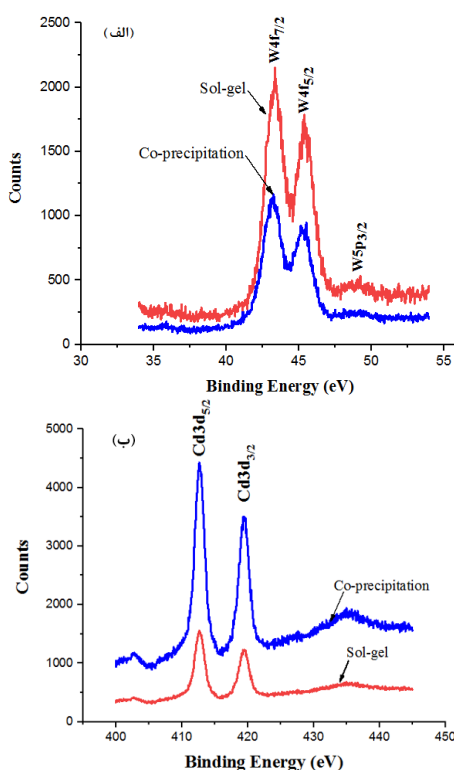
۱-۳-پراش پرتو ایکس (XRD) نتایج پراش پرتو ایکس برای هر دو پودر تولید شده به روش سل-ژل و همرسوبی در شکل ۲ ارائه شده‌اند.

^۱ Full-width at half maximum



شکل ۳- طیف فوتوالکترون پرتو ایکس (XPS) تنگستات کادمیم تولید شده به روش (الف). سل-ژل (ب). همرسوبی.

از طرفی مشخصه $\text{Na}1\text{s}$ در حوالی 1070 eV در نمونه‌های تولید شده به روش سل-ژل قابل مشاهده است و دلالت بر وجود ناخالصی سدیم در نمونه‌های تولید شده به روش سل-ژل است. شدت قله $\text{Cd}3\text{d}$ در روش همرسوبی نسبت به روش سل-ژل بیشتر است. همچنین، امکان تشخیص دو قله $\text{Cd}3\text{d}_{5/2}$ و $\text{Cd}3\text{d}_{3/2}$ از یکدیگر در روش همرسوبی وجود دارد. این در حالی است که شدت قله‌های $\text{W}4\text{f}$ و $\text{O}1\text{s}$ در نمونه‌های سل-ژل بیشتر از همرسوبی است. در شکل ۴ (الف، ب و ج) تصاویر قله‌های مربوط به $\text{Cd}3\text{d}_{5/2}$, $\text{Cd}3\text{d}_{3/2}$, $\text{W}4\text{f}_{7/2}$, $\text{W}4\text{f}_{5/2}$, $\text{W}4\text{d}_{5/2}$, $\text{W}4\text{d}_{7/2}$, $\text{W}5\text{p}_{3/2}$ و $\text{W}5\text{p}_{1/2}$ در نانوپودرهای تولید شده به روش سل-ژل و همرسوبی که ناشی از جفت شدگی اسپین-اوربیتالی در اوربیتالهای f , p و d هستند [۱۸] ارائه شده‌اند.



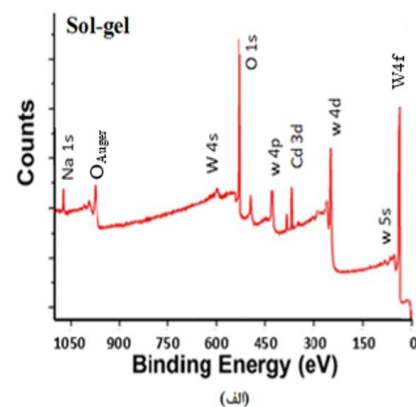
جدول ۱- اندازه بلوک‌ها و کرنش حاصل از روش ریتولد و شر برای نانوپودرهای تولید شده.

همرسوبی	سل-ژل	روش تولید
۵/۰۳	۴/۹۸	a(A)
۵/۰۷	۵/۰۵	b(A)
۵/۸۶	۵/۷۶	c(A)
۹۰	۹۰	$\alpha(\text{deg})$
۹۰	۹۰	$\beta(\text{deg})$
۹۱/۴۷	۹۳/۲۱	$\gamma(\text{deg})$
۱۴۹/۵۷	۱۵۰	V(A) ^۳
۳۲	۲۰	D(nm)
۴	۴/۵	$E^{+10^{-۳}}$

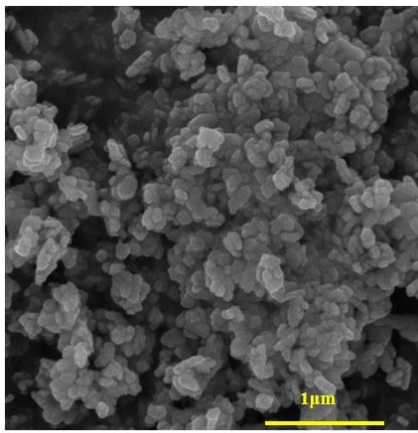
اندازه بلوک‌ها در هر دو روش برابر هستند. مقادیر پارامترهای شبکه محاسبه شده برای نانوذرات تولید شده به روش همرسوبی و سل-ژل با مقادیر محاسبه شده در مقالات پیشین همخوانی خوبی دارند [۸ و ۱۵].

۲-۳- طیف نگاری فوتوالکترون پرتو ایکس (XPS) پیوندها و حالات شیمیایی عناصر موجود در سطح نانوپودرهای تولید شده با آنالیز XPS بررسی شدند. نتایج در شکل ۳ ارائه شده‌اند.

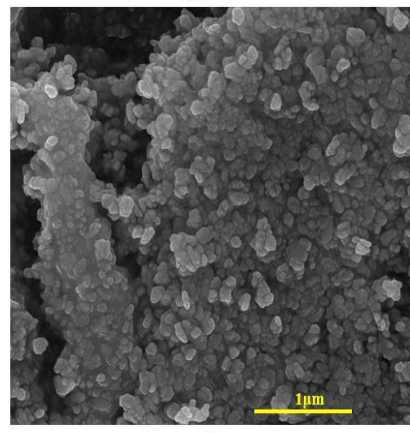
فرایند تنظیم^۱ با متناسب کردن قله کربن ($\text{C}1\text{s}$) در $292/4 \text{ eV}$ انجام شد. قله‌های مربوط به حالات $\text{Cd}3\text{d}_{5/2}$ و $\text{Cd}3\text{d}_{3/2}$ در $405/4 \text{ eV}$ و 420 eV ، $\text{W}4\text{f}$ در 411 eV و 420 eV ، $\text{W}4\text{p}$ در 420 eV ، $\text{W}5\text{d}$ در 405 eV و 420 eV و $\text{O}1\text{s}$ در 537 eV و 605 eV و $\text{W}5\text{s}$ در $984/3 \text{ eV}$ و 117 eV در نمونه‌های تولید شده به روش سل-ژل و همرسوبی مشاهده شدند.



^۱ Calibration

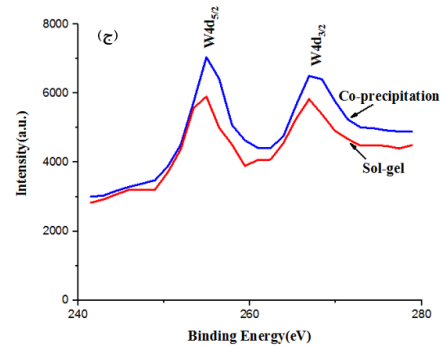


الف



ب

شکل ۵- تصویر میکروسکوپ الکترونی روبشی (SEM) تنگستات کادمیم تولید شده به روش سل-ژل و همسوپی برای قله‌های: (الف). $W4f_{5/2}$, $W4d_{5/2}$, $W4d_{3/2}$, $W5p_{3/2}$, (ب). $W4f_{5/2}$, $W4d_{5/2}$, $W4d_{3/2}$, $Cd3d_{5/2}$, $Cd3d_{3/2}$, $W4f_{7/2}$ و (ج). $W4f_{5/2}$, $W4d_{5/2}$ در

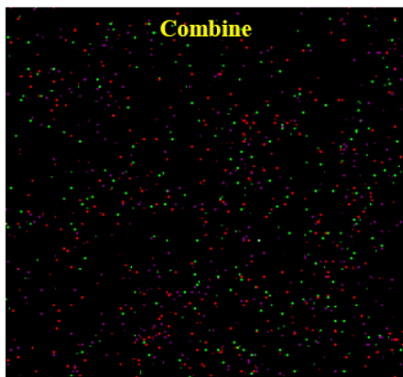


شکل ۶- طیف فوتوالکترون پرتو ایکس (XPS) تنگستات کادمیم تولید شده به روش سل-ژل و همسوپی برای قله‌های: (الف). $W4f_{5/2}$, $W4f_{7/2}$, $W4d_{5/2}$, $W4d_{3/2}$, $W5p_{3/2}$, (ب). $W4f_{5/2}$, $W4d_{5/2}$, $W4d_{3/2}$, $Cd3d_{5/2}$, $Cd3d_{3/2}$, $W4f_{7/2}$ و (ج). $W4f_{5/2}$, $W4d_{5/2}$ در

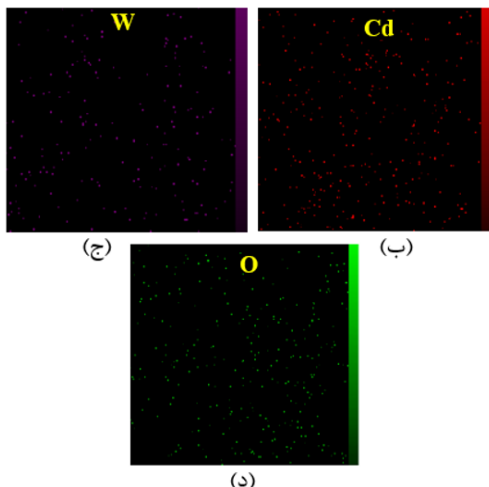
با توجه به شکل ۶ (الف)، قله‌های دوگانه $W4f_{5/2}$ و $W4f_{7/2}$ در طیف XPS نانوپودرهای سنتز شده به روش‌های سل-ژل و همسوپی قابل مشاهده هستند شدت قله‌ها در روش سل-ژل بیشتر است. نسبت قله‌ها در روش سل-ژل و همسوپی به $W4f_{5/2}$ و $W4f_{7/2}$ ترتیب ۰/۷۸ و ۰/۸۱ است. با توجه به موقعیت قله‌های $W4f_{5/2}$ در روش سل-ژل و همسوپی در انرژی‌های بستگی $W4f_{5/2}$ و $W4f_{7/2}$ در $42/39$, $44/58$ eV و $45/53$ eV و $43/27$ و $42/39$ eV با ترتیب $W4f_{5/2} < W4f_{7/2}$ است. قله $W4f_{5/2}$ به تنگستن فلزی نیست زیرا تنگستن فلزی در انرژی‌های بستگی کمتری ($32-31$ eV) اتفاق می‌افتد [۱۹]. با توجه به اینکه موقعیت قله‌ها در حالت‌های اکسیدی W^{+5} , W^{+4} , W^{+3} و W^{+2} به ترتیب به 31 eV و 32 eV و 34 eV و $35/37$ eV/VeV نزدیک است [۱۹ و ۲۰] می‌توان نتیجه‌گیری کرد که تنگستن در نمونه‌های سنتز شده دارای حالت اکسیدی W^{+6} است. موقعیت قله $W5p_{3/2}$ در نمونه‌های سنتز شده در حوالی $W5p_{3/2}$ نزدیک است [۱۹ و ۲۰] می‌توان نتیجه‌گیری کرد که تنگستن در نمونه‌های سنتز شده در حوالی $W5p_{3/2}$ در مقالات دیگر هم خوانی دارد [۲۱]. با توجه به شکل ۶ (ب) شدت قله‌های $W4f_{5/2}$ و $W4f_{7/2}$ در انرژی‌های بستگی $419/4$ eV و $412/7$ eV قرار دارند، در نمونه‌های سنتز شده به روش همسوپی بیشتر از روش سل-ژل است. با توجه به شکل ۶ (ج) قله‌های $W4d_{5/2}$ و $W4d_{3/2}$ در انرژی‌های بستگی 266 eV و 254 eV قرار دارند که با نتایج ارائه شده در مقالات دیگر هم خوانی دارند [۱۶].

۳-۳- تصاویر میکروسکوپ الکترونی (SEM) و (TEM) برای بررسی‌های ریخت‌شناسی و نحوه توزیع ذرات میزان توده شدگی در نانوپودرها تصاویر میکروسکوپ الکترونی روبشی پودرهای تولید شده به روش سل-ژل و همسوپی مورد بررسی قرار گرفتند (شکل ۵).

وسيع تر ۱۰۰nm است. همانگونه که در شکل های ۴ و ۵ مشاهده می شود اغلب ذرات در روش همرسوبی کلوخه ای شده اند. در حالی که در روش سل-ژل اندازه ذرات بزرگتر و میزان توده شدگی بسیار کمتر است. با توجه به شکل ۶ (الف) توزیع اندازه ذرات در روش سل-ژل یکنواخت تر است (ذرات اغلب در یک اندازه هستند). ریخت و شکل ذرات در روش همرسوبی نامنظم و در سل-ژل منظم با حالت کشیده هستند. در شکل ۷ تصویر EDXS و Mapping elemental از عناصر موجود در نانو ذرات تنگستات کادمیم ارائه شده است.

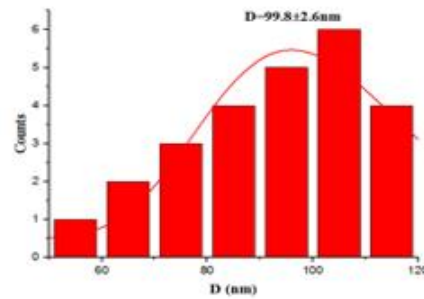
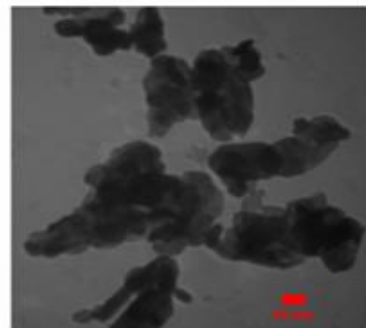


(الف)

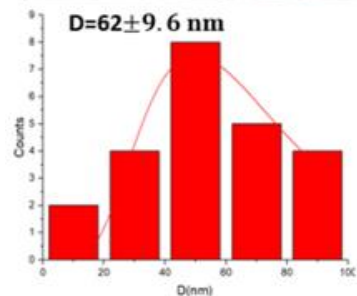
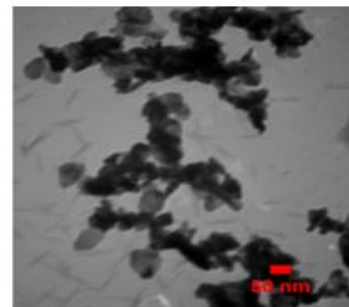


شکل ۷- تصویر EDXS-map نانو ذرات تنگستات کادمیم (الف) ترکیب آنها، (ب) کادمیم، (ج) تنگستون و (د) اکسیژن. همانگونه که در شکل ۷ مشاهده می شود، عناصر کادمیم، تنگستون و اکسیژن در ساختار توزیع یکنواختی داشته اند.

۴- نتیجه گیری
در این پژوهش، نانوذرات تنگستات کادمیم به روش سل-ژل و همرسوبی تولید شدند. ویژگی های ساختاری، خلوص، ریخت-شناسی، جهتگیری ذرات، اندازه ذرات و توزیع اندازه ذرات با استفاده از روش های مشخصه یابی XRD، XPS، SEM و TEM بررسی و با یکیگر مقایسه شد. نتایج نشان می دهد که تیزی و شدت قله های XRD در نانو ذرات تولید شده به روش همرسوبی بیشتر بوده که دلالت بر میزان بلورینگی بیشتر و



(الف)



(ب)

شکل ۶. (الف) تصویر میکروسکوپ الکترونی عبوری (TEM) و توزیع اندازه ذرات در روش سل ژل (ب) تصویر میکروسکوپ الکترونی عبوری (TEM) و توزیع اندازه ذرات در روش همرسوبی.

همانگونه که در شکل ۶ مشاهده می شود، در روش سل ژل متوسط اندازه ذرات درشت تر ۱۰۰ nm و توزیع اندازه ذرات در محدوده باریکتر nm ۱۲۰-۵۰ است. در روش همرسوبی متوسط اندازه ذرات ۶۲nm و توزیع اندازه ذرات در محدوده

- [10] S. Mostafa Hosseinpour-Mashkani, A. Sobhani-Nasab, Mater. Sci: Mater Electron. 27, 3240-3244, (2016).
- [11] L. Li, J. Xu, M. Mao, X. Li, S. Zhao, Z. Liu, Y. Li, Applied Surface Science, 481, 692-701, (2019).
- [12] F. Rao, C. Qin, J. Zhong, J. Li, Ceramics International, 47, 26572-26578, (2021).
- [13] Z. Lou, J. Hao, M. Cocivera, luminescence, 99, 349-354, (2002).
- [14] H.M. Shang, M. Bliss, S. Heald, T.K. Sham, F. Heigl, G.Z. Cao, materials research, 22, 1527-1536, (2007).
- [15] D. L. Shruthi, A. J. Reddy, G. N. A. Kumar, C. K. Jayasankar, R.H. Krishna Materials Research Express, 6.12, 125053, (2019).
- [16] D.J. Morgan, Surface Science Spectra, Surface Science Spectra 25.1, 0140021-10, (2018).
- [17] Y. Meng, Y. Gao, K. Chen, J. Lu, F. Xian, L. Xu, G. Zheng, Optik, 244, 167515, (2021).
- [18] R. F. Londoño-Menjura, R. Ospina, D. Escobar, J. H. Quintero, J. J. Olaya, E. Restrepo-Parra, Journal of Materials Engineering and Performance, 29.8, 5203-5213, (2020).
- [19] R.F.Londoño-Menjura, R.Ospina, D.Escobar, J. H. Quintero, J. J. Olaya, A. Mello, E. Restrepo-Parra, Applied Surface Science, 427, 1096-1104, (2018).
- [20] I. Matolinova, M. Gillet, E. Gillet, V. Matolin, Nanotechnology, 20.44, 445604, (2009).
- [21] F. Y. Xie, L. Gong, X. Liu, Y. T. Tao, W. H. Zhang, S. H. Chen, H. Meng, J. Chen, Journal of Electron Spectroscopy and Related Phenomena 185, 112-118, (2012).

عیوب کمتر دارد. اندازه بلورکها با استفاده از روش شر برای نمونه‌های تولید شده به روش سل-ژل و همرسوبی معادل ۳۰ nm و ۳۲ nm بود. نتایج XPS نشان می‌دهد که خلوص فراوردهات در روش همرسوبی بیشتر است.

بررسی تصاویر SEM نشان می‌دهد که اندازه ذرات در نمونه‌های تولید شده به روش همرسوبی کوچکتر از سل-ژل است و در نمونه‌های همرسوبی تودهای شدن جدای ناپذیر رخ داده است. همچنین توزیع اندازه ذرات در روش سل-ژل باریکتر است. نتایج TEM توزیع وسیع اندازه ذرات را در نمونه‌های تولید شده به روش همرسوبی نشان داد. روابط میان اندازه بلورکهای محاسبه شده با استفاده از روش شر و اندازه ذرات بدست آمده از تصاویر SEM با یکدیگر مطابقت دارند.

۵- قدردانی

نویسندهای این مقاله از حمایت‌های مالی بنیاد محترم ملی نخبگان کمال تشكر و قدردانی را دارند.

۶- منابع

- [1] RL. Kohale, VB. Pawade, SJ. Dhoble, AH. Deshmukh, Woodhead Publishing, (2020).
- [2] A. M. Kaczmarek, R. Van Deun, Chemical Society Reviews, 42, 8835-8848, (2013).
- [3] P. Yadav, PD. Bhuyan, SK. Rout, Y. Sonvane, Materials Today Communications, 25, 101417, (2020).
- [4] C. Zhang, L. Wang, F. Yuan, R. Meng, J. Chen, W. Hou, H. Zhu, Applied Surface Science, 534, 147544, (2020).
- [5] Z. Lin, S. Lv, Z. Yang, J. Qiu, S. Zhou, Advanced Science, Wiley Online library, 2102439, (2021).
- [6] H. Hao-Yang, X. Hai-Ping, H. Jian-Xu, Z. Yue-Pin, J. Hao-Chuan, C. Hong-Bing, Chinese Physical Society and IOP Publishing Ltd, 22, 0278040-5, (2013).
- [7] L. Nadaraia; N. Jalabadze; R. Chedia; M. Antadze, L. Khundadze, 57, 1370-1376, (2010).
- [8] H. Ziluei, M. Mojtabedzadeh Larijani, R. Azimirad, International Journal of Radiation Research, 15, 425-430, (2017).
- [9] M. Kodu, T. Avarmaa, R. Jaaniso, K. Leemets, H. Mändar, V. Nagirnyi, Superlattices and Microstructures, 98, 18-28, (2016).



Synthesis of CdWO₄ nanoparticles by sol-gel and co-precipitation methods and study of their morphologies

Nooshin Heydarian Dehkordi ^{1,*}, Morteza Raeisi ^{2,3}, Sanaz Alamdari⁴

1- Department of Nanotechnology, Faculty of New Science and Technologies, Semnan University, Semnan, Iran

2- Department of Physics, Faculty of Science, Shahrekord University, Shahrekord, Iran

3- Nanotechnology Research Institute, Shahrekord University, Shahrekord, Iran

4- Faculty of Physics, Semnan University, Semnan, Iran

Abstract:

In this research, cadmium tungstate (CWO) nanoparticles were produced in two simple and low cost methods: sol-gel and co-precipitation. Morphological studies and characterization analyzes by XRD, SEM, and TEM showed that the size of crystallites in sol-gel and co-precipitation methods was approximately equal (30 and 32 nm); sol-gel method produces larger nanoparticles (100 nm) with a more uniform distribution; the co-precipitation method produces smaller nanoparticles (62 nm) with a wider distribution; the aggregation rate in the co-precipitation method was higher than the sol-gel method. The characteristic of s1Na at 1070 eV in the XPS results of sol-gel nanoparticles along with the peaks of the main elements of cadmium tungstate such as Cd3d, W4f, and O1s at around 415, 40, and 537eV indicated that higher particle purity in the co-precipitation method. EDXS-map shows the uniform presence and distribution of atoms in nanoparticles, so both methods can be good methods for producing CWO nanoparticles with suitable structural properties for use in various fields, including the fabrication of photovoltaic and scintillator components.

Keywords: Cadmium tungstate, Morphology, Sol-gel, Co-precipitation